

ОСОБЕННОСТИ ВЗАИМОДЕЙСТВИЯ АЛЮМИНИЕВОГО БЛОКА С ВЫСОКОТЕМПЕРАТУРНЫМИ ПРОДУКТАМИ СГОРАНИЯ ПОРОХОВ

Ю. В. Фролов, Ю. А. Гостищев, Г. Н. Марченко, В. П. Смирнов,
И. Г. Хакимов, Ю. В. Михайловский, В. П. Гасилин, М. Я. Кордон

(Москва)

При работе различных аппаратов в агрессивных средах нередко возникают условия, когда металлические конструкции или их элементы оказываются в режиме высокотемпературного нагрева. При этом отдельные детали нагреваются до температуры плавления, что может привести к их деформации и разрушению. Такие металлы, как железо или алюминий, могут в сильно нагретом состоянии активно вступать в реакцию окисления, воспламеняться и переходить в режим самоподдерживающегося горения [1].

Для практики важны исследования взаимодействия высокоскоростного высокотемпературного газового потока с конструкциями (сопловые блоки, газопроводы или лопасти газовых турбин). Здесь существенно выявление критических режимов работы материалов. В [2] поставлена задача об окислении и воспламенении металлических пластин и блоков металла, нагретых в окислительной газофазной среде до критической начальной температуры. Решение уравнений теплопроводности в металле и газе с учетом кинетического закона окисления металла показало, что в реальных условиях вероятность воспламенения нетеплоизолированных блоков мала. Так, критическая температура поверхности блока алюминия в момент воспламенения должна быть равна температуре плавления его окисного слоя (~ 2300 К), т. е. намного превышать температуру плавления самого металла.

Расчет критических условий воспламенения металлических пластин с переменной толщиной окисного слоя и при параболическом законе окисления показал принципиальную возможность перехода окисления поверхности металла в режим воспламенения [3]. Однако справедливость проведенных расчетов не была подтверждена экспериментально. Характер взаимодействия дисков-вставок, по существу, являющихся соплом (сопло-очко), при истечении через имеющееся в них центральное отверстие ($d=0,3 \div 0,4$ мм) продуктов сгорания пороха на основе нитроцеллюлозы (13,37% N₂) исследован в [4]. Установлено, что механизм разгара центральных отверстий дисков-вставок может быть либо инертно-эрзационным (термическая инертная эрозия), либо активно-эрзационным, когда на эрозионный эффект накладывается химическая реакция материала диска с кислородсодержащими компонентами газового потока.

Для выяснения особенностей окисления и определения критических условий воспламенения и горения нетеплоизолированного блока колец из алюминиевого сплава в высокотемпературном газовом потоке высокой плотности (при относительно низких давлениях $\sim 200 \div 400$ атм) проведены исследования в установке, основу которой составил модельный ракетный микродвигатель с сопловым блоком камеры сгорания из алюминиевого сплава. В критическом сечении двигателя для предотвращения изменения его диаметра устанавливались специальные стальные кольца-вставки.

В другом варианте сопловой блок выполнялся из стали; в конфузорной его части устанавливалось тонкостенное кольцо из алюминиевого сплава (диаметр 23,0 мм, толщина 1,3 \div 1,5 мм, ширина 6,0 \div

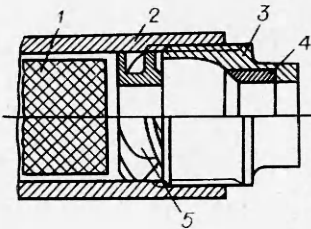


Рис. 1. Схема соплового блока.
1 — заряд; 2 — камера; 3 — сопло;
4 — стальное кольцо; 5 — завихритель.

$\div 7,0$ мм); конструкция соплового блока предусматривала возможность полной тепловой изоляции кольца от внутренней поверхности соплового блока при полном сохранении профиля последнего. Средняя массовая скорость $p\dot{w}$ продуктов сгорания пироксилинового пороха ($12,5\% \text{ CO}_2$, $42,0\% \text{ CO}$, $22,0\% \text{ H}_2\text{O}$, $11,0\% \text{ N}_2$, $12,5\% \text{ H}_2$) за время работы микродвигателя (20 мс) при среднем статическом давлении $p \approx 200$ атм, замеренном на входе в сопловой блок, составила $1,2 \cdot 10^4 \text{ кг}/(\text{м}^2 \cdot \text{с})$.

После эксперимента внутренняя поверхность соплового блока подвергалась анализу. Измерялась также масса блока. Для интенсификации процессов теплообмена [5—8] в сопловом блоке устанавливался завихритель (рис. 1). С целью сохранения расходных характеристик сопла завихритель имел центральное отверстие с диаметром, равным диаметру критического сечения сопла. Анализ показал, что видимых изменений на внутренней поверхности соплового блока из алюминиевого сплава при осевом истечении продуктов сгорания не происходит, а тяговые характеристики двигателя не меняются.

Результат взаимодействия такого же соплового блока с частично закрученным потоком показан на рис. 2. Здесь приведены фотографии разреза сопловых блоков до и после истечения продуктов сгорания при различной степени интенсивности закрутки α_* [5]. Организация вращательно-поступательного движения в сопловом блоке приводит к уносу массы алюминия, пропорциональному величине интенсивности закрутки потока. При $\alpha_* = 0,069$ на внутренней поверхности сопла видны слабо выраженные спиральные следы, положение которых совпадает с направлением движения струи продуктов сгорания. Внутренняя поверхность соплового блока покрыта тонким темным налетом, по-видимому, углеродом и карбидом алюминия, образовавшимся в результате взаимодействия алюминия с углеродом (см. рис. 2, в).

По мере увеличения α_* меняется не только величина поверхности, подверженной воздействию потока, но и характер этого воздействия (см. рис. 2, в, д). Если при $\alpha_* \approx 0,069$ следы «ручки» имеют четкие границы и гладкую поверхность, то при $\alpha_* = 0,138$ уменьшается даже общая длина соплового блока; вся его внутренняя поверхность приобретает шероховатый «пеноподобный» рельеф, а на стальной вставке в критическом сечении можно наблюдать отдельные частицы и их агломераты из алюминия и его окисла (см. рис. 2, д).

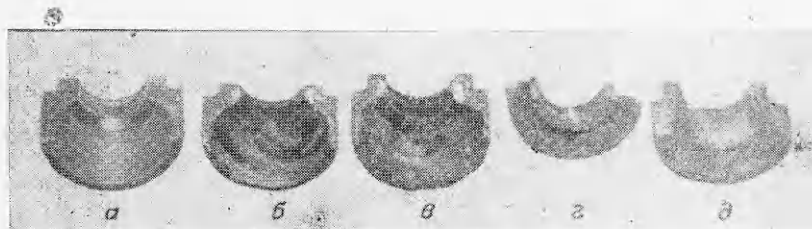


Рис. 2. Разрез сопловых блоков из алюминиевого сплава до истечения (а) и после истечения продуктов сгорания (б — д) при $\alpha_* = 0,069; 0,80; 0,100; 0,138$.

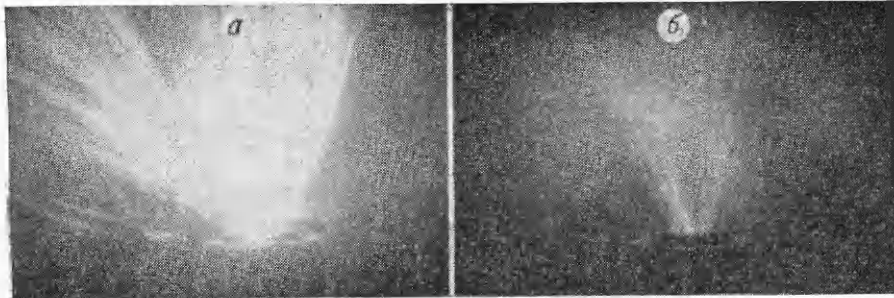


Рис. 3. Истечение продуктов сгорания.

При закрутке меняется и вид истекающей струи. В ней отчетливо фиксируются следы-треки светящихся частиц. Количество последних возрастает по мере увеличения интенсивности закрутки и отношения длины полости соплового блока к диаметру. На рис. 3 представлены фотографии истечения осевого потока продуктов сгорания (а), частично-закрученного потока при $\alpha_* = 0,069$ и отношении длины полости соплового блока (вихревой камеры) к диаметру $L/D = 0,5$ (б) и $L/D = 3,0$ (в).

Увеличение длины вихревой камеры при наличии осевого потока, вдуваемого через центральное отверстие завихрителя, приводит к ослаблению и размытию вращающегося потока по мере его продвижения, о чем свидетельствуют следы-«ручьи» на внутренней поверхности сопловых блоков. Унос массы соплового блока из алюминиевого сплава при $\alpha_* = 0,069$; 0,100 и 0,138 составляет соответственно 0,84; 1,42 и 1,88 г. Это создает, согласно измерениям, прирост импульса от 7,0 до 10,0 %. Использование в качестве заряда микродвигателя модельного состава с 5,0 % мелкодисперсного алюминия приводит к еще более резкому изменению массы соплового блока (см. рис. 2, г) — до $2,18 \div 2,20$ г и приросту импульса на 15,0 %.

На рис. 4 показаны кольца из красной меди (а), органического стекла (б) и из алюминиевого сплава (в), устанавливаемые в сопловом блоке из стали до и после сжигания пироксилинового пороха ($\alpha_* = -0,080$). Наиболее сильные изменения, вплоть до разрушения на отдельные сектора, претерпели кольца из алюминиевого сплава. Тепловая изоляция кольца от соплового блока усугубляет этот эффект. Однако характерные признаки воспламенения и парофазного горения не наблюдались.

Эрозия металлов в нагретых газовых потоках, сопровождаемая уносом массы, в том числе и в условиях сопловых блоков, общеизвестна. Поведение металлов в таком потоке можно условно подразделить на два этапа: 1) нагрев до температуры плавления и 2) плавление всего объема или поверхностного слоя исследуемого вещества.

Поверхностный слой, особенно в жидким состоянии, под действием аэродинамической силы сопротивления при обтекании тела скоростным потоком газа может уноситься в газовую fazу — наступает эрозия материала. Если газовый поток абсолютно инертен по отношению к веществу, то протекает чисто термическая эрозия с характерными для нее законами. В [9, 10] показано, что эрозионное сопротивление материалов может быть оценено в первом приближении параметром $(c\rho)^{1/2} \times (T_{пл} - T_0)$, где c — теплоемкость, ρ — плотность, $T_{пл}$ — температура плавления и начальная температура вещества обтекаемого тела. Иными словами, при одних и тех же значениях тепловых потоков и сохранении условий теплообмена с

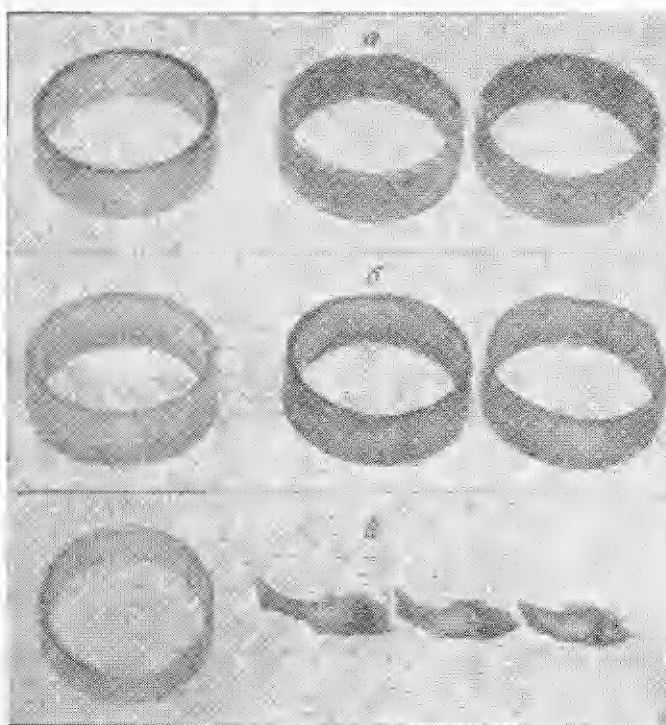


Рис. 4. Вставки из различных материалов до и после сжигания пироксилинового пороха.

газом поверхностный слой исследуемого тела нагревается до плавления за время, пропорциональное температуре плавления вещества.

В условиях проведенных экспериментов даже в химически активной среде этот вывод остается верным: медные и стальные кольца, установленные в критическом сечении соплового блока, при постоянных давлениях и интенсивности закрутки потока практически не претерпевают никаких изменений; однако кольца из более легкоплавкого алюминиевого сплава подвергаются сильной эрозии с явными признаками поверхностного плавления. Характерно, что эрозионное выгорание порохов в звуковом потоке сильно зависит от давления ($\sim p^{0.8}$) и практически не зависит от величины показателя степени v в законе горения $u = bp^v$; оно по характеру близко к выгоранию колец из органического стекла [10] (см. рис. 4). При этом скорость эрозионного уноса массы пропорциональна скорости плавления поверхностного слоя вещества.

Увеличение глубины прогрева поверхности алюминиевых колец и блоков за счет интенсификации закрутки приводит к росту эрозионного уноса расплавленного слоя в виде отдельных частиц и капель. Последние, находясь в высокотемпературном активном потоке, способны воспламеняться и переходить в стадию парофазного горения, образуя на выходе из соплового блока характерные следы-треки (см. рис. 3, б). Это ведет к дополнительному энерговыделению, к повышению температуры потока и росту его плотности за счет присутствия конденсированных частиц. Общий эффект качественно такой же, как и при применении металлизированных порохов. Увеличение длины соплового блока, с одной стороны, приводит к увеличению времени химической реакции в нем, а с другой — к росту эффекта коагуляции частиц — их укрупнению. Подтверждением этому является вид истекающей струи (см. рис. 3, в) и дополнительный прирост импульса удельной тяги.

Теплоизоляция тонких колец из алюминиевого сплава, ограничивая теплопередачу в глубь блока, усиливает процесс эрозионного образования частиц и капель, а тем самым и полноту его химического реагирования в сопле.

Таким образом, в условиях высокотемпературного высокоскоростного потока продуктов сгорания нитроглицеринового пороха при давлении до 200 атм воспламенение и парофазное горение блоков и пластин (кольца) из алюминиевого сплава не наблюдается; горят образующиеся при эрозионном уносе поверхностного расплавленного слоя частицы и капли металла. Эффективность горения пропорциональна скорости подвода тепла из газового потока и при организации вращательно-поступательного движения потока — интенсивности его закрутки. Горящие капли алюминия могут служить гетерогенным источником зажигания легковоспламеняющихся материалов и причиной выхода из строя аппаратуры [1].

Поступила в редакцию
1/VI 1977

ЛИТЕРАТУРА

1. Б. А. Иванов. Безопасность применения металлов в контакте с кислородом. М., «Химия», 1974.
2. В. И. Розенбанд. ФГВ, 1974, 10, 2.
3. W. H. Doggins. Viscons Hypersonic Flow, McGraw Hill. New York, 1962.
4. E. G. Plett, A. C. Alkidas a. o. J. of Heat Transfer. Paper N 75HT-M.
5. Ю. А. Гостинцев. МЖГ, 1969, 4.
6. А. Магер. Ракетная техника, 1961, 8.
7. З. Р. Горбис. Теплообмен и гидромеханика дисперсных сквозных потоков. М., «Энергия», 1970.
8. Л. А. Вулис. Изв. АН СССР, ОТН, 1957, 10.
9. U. U. Landau. Quart. of Appl. Math., 1950, 8, 81.
10. А. Ф. Беляев. Горение, детонация и работа взрыва конденсированных систем. М., «Наука», 1968.

О ЗАВИСИМОСТИ СКОРОСТИ БЕЗГАЗОВОГО РЕЖИМА ГОРЕНИЯ ОТ ДАВЛЕНИЯ

В. И. Вершинников, А. К. Филоненко

(Черноголовка)

Проведенные расчеты адиабатических температур горения и состояния исходных и конечных продуктов горения при этих температурах показывают [1, 2], что большой класс систем металл — неметалл, состоящих из смеси порошков переходных металлов с бором, углеродом, кремнием и некоторыми другими неметаллами, горит по так называемому безгазовому механизму. Согласно определению безгазового режима горения, все исходные реагенты, конечные и промежуточные продукты горения находятся в конденсированном состоянии, поэтому скорость горения в безгазовом режиме не должна зависеть от внешнего давления инертного газа [3]. Эти явления впервые наблюдались при горении хромоалюминиевого термита [4], в дальнейшем на безгазовом составе на основе железоалюминиевого термита [5] и в последнее вре-